



مطالعه تاثیر خواص الاستیک بر روی حرکت قطره ویسکوالاستیک در رژیم اینرسی

امین امامیان¹، محمود نوروزی^{2*}، مهدی داودی³

1- دانشجوی کارشناسی ارشد، مهندسی مکانیک، دانشگاه صنعتی شاهرود، شاهرود

2- استادیار، مهندسی مکانیک، دانشگاه صنعتی شاهرود، شاهرود

3- دانشجوی دکترا، مهندسی مکانیک، دانشگاه لیورپول، لیورپول، انگلستان

* شاهرود، صندوق پستی 3619995161، mnorouzi@Shahroodut.ac.ir

اطلاعات مقاله

مقاله پژوهشی کامل

دریافت: 16 خرداد 1396

پذیرش: 18 مرداد 1396

ارائه در سایت: 17 شهریور 1396

کلید واژگان:

قطره غیرنیوتنی

رینولدز

دبورا

مویبگی

حساب اغتشاشات

مدل فوق همرفتی ماکسول

چکیده

در این مقاله، حرکت پایای قطره غیرنیوتنی درون یک سیال نیوتنی در اعداد رینولدز پایین به صورت تحلیلی بررسی شده است. در تحقیق حاضر از مدل فوق همرفتی ماکسول برای فاز قطره و از مدل نیوتنی برای فاز محیط پیرامون آن استفاده شده است. در طول چند دهه گذشته، مطالعاتی مربوط به ناپایداری سیالات غیرنیوتنی به ویژه مواردی که شامل سطوح آزاد می‌باشد، بیشتر مورد توجه قرار گرفته است. این نوع از مطالعات را می‌توان برای بهینه‌سازی فرآیندهای طراحی از جمله: صنعت نفت، فرآیندهای پزشکی، استخراج فلز، رنگ‌ها و نیروگاه‌ها مرتبط دانست. حل تحلیلی با استفاده از روش اغتشاشات به دست می‌آید. به منظور خطی‌سازی معادلات حاکم بر مسئله در روش تحلیلی از اعداد بی‌بعد رینولدز و دبورا استفاده شده است. عدد دبورا نشان دهنده خاصیت الاستیک قطره است. با افزایش خاصیت الاستیک قطره غیرنیوتنی، نیروی درگ قطره افزایش پیدا می‌کند. قطره غیرنیوتنی در حال سقوط، حالت کروی خود را از دست داده و شکل پهن شده به خود می‌گیرد. با افزایش عدد دبورا (خاصیت الاستیک) حفره انتهایی قطره افزایش پیدا کرده و در نتیجه نیروی درگ آن افزایش و به تبع آن سرعت حد قطره کاهش پیدا می‌کند. دلیل ایجاد حفره در قسمت انتهایی قطره، وجود نیروی لختی و تمرکز مؤلفه نرمال تنش در قسمت انتهایی قطره می‌باشد. برتری و نوآوری تحقیق حاضر نسبت به تحقیقات پیشین در نظر گرفتن ترم جابجایی (ترم غیرخطی) معادلات اندازه حرکت می‌باشد که در مطالعات پیشین به دلیل خزشی بودن جریان، این ترم صرف نظر شده است.

Study of the effect of elastic properties on viscoelastic drop motion in inertia regime

Amin Emamian¹, Mahmood Norouzi^{1*}, Mahdi Davoodi²

1- Mechanical Engineering Department, Shahrood University of Technology, Shahrood, Iran

2- Mechanical Engineering Department, Liverpool University, Liverpool, United Kingdom

* P.O.B. 3619995161, Shahrood, Iran, mnorouzi@Shahroodut.ac.ir

ARTICLE INFORMATION

Original Research Paper

Received 06 June 2017

Accepted 09 August 2017

Available Online 08 September 2017

Keywords:

non-Newtonian drop

Reynolds

Deborah

Capillary

perturbation method

Upper Convected Maxwell model

ABSTRACT

In this paper, steady motion of non-Newtonian falling drop through a Newtonian fluid at low Reynolds number is investigated analytically. Here, the Upper Convected Maxwell model (UCM) is used for drop phase and Newtonian model is considered for external fluid. During the past few decades, studies relating to non-Newtonian instabilities especially those involving free surfaces are amongst the most striking. These types of studies can be used to optimize design processes in, for example, the petroleum and medicine related processes, metal extraction, and paint and power-plant related fields. Analytical solution is obtained using the perturbation method. Reynolds and Deborah numbers are used to linearize the equations governing the problem in analytical method. Deborah number indicates the elastic effect of drop. The drag force increases by the growth of the elastic effect of non-Newtonian Drops. The non-Newtonian drop loses its shape and changes to an oblate form. Increment in Deborah number enhances the dimple at the bottom of the drop and results in an increment in its drag force and as a consequence its terminal velocity decreases. A hole is created at the rear of the drop due to the presence of inertia force and focus of normal component of stress at the rear of the drop. The novelty of this study is that it considers the convection (non-linear) term of the momentum equations which was neglected in the previous studies due to the creeping flow.

1- مقدمه

توجه فزاینده‌ای از محققان را به خود جلب کرده است. این نوع از مطالعات را می‌توان برای بهینه‌سازی فرآیندهای طراحی از جمله: صنعت نفت، فرآیندهای پزشکی، استخراج فلز، رنگ‌ها و نیروگاه‌ها مرتبط دانست [1-3]. به صورت عمده از مواد پلیمری در صنایع نفتی به منظور لخته‌سازی سیالات استفاده می‌شود. با این عمل یکی از سیال‌ها شروع به رسوب کردن می‌کند. محاسبه

در طول چند دهه گذشته، مطالعاتی مربوط به ناپایداری سیالات غیرنیوتنی¹ به ویژه مواردی که شامل سطوح آزاد می‌باشد، بیشتر مورد توجه قرار گرفته است. به طور خاص، مطالعه خواص رئولوژیکی در حرکت و تغییر شکل قطرات

¹ Non-Newtonian

Please cite this article using:

A. Emamian, M. Norouzi, M. Davoodi, Study of the effect of elastic properties on viscoelastic drop motion in inertia regime, *Modares Mechanical Engineering*, Vol. 17, No. 9, pp. 165-174, 2017 (in Persian)

برای ارجاع به این مقاله از عبارت ذیل استفاده نمایید:

A. Emamian, M. Norouzi, M. Davoodi, Study of the effect of elastic properties on viscoelastic drop motion in inertia regime, *Modares Mechanical Engineering*, Vol. 17, No. 9, pp. 165-174, 2017 (in Persian)

سرعت ته‌نشینی از مهم‌ترین مسائل موردنیاز در صنایع نفتی می‌باشد. از دیگر کاربردهای این موضوع می‌توان به صنایع تولید چاپگرها و پاشش رنگ اشاره کرد که از رنگ به‌صورت قطره‌ای استفاده می‌کنند. در این صنایع، تحقیقات روزافزونی در راستای اندازه‌گیری سایز و حرکت این قطرات در حال انجام گیری است.

در چند دهه اخیر، بررسی و تحلیل‌های متعددی روی سقوط¹ و یا بالا رفتن² قطرات در یک فاز سیال دیگر صورت گرفته است که نشان از اهمیت این موضوع دارد. از همین رو محققان زیادی سعی بر شبیه‌سازی این پدیده و عوامل مؤثر بر آن کرده‌اند. هادامارد [4] و ریسیزنسکی [5] سقوط خزشی³ قطره نیوتنی در یک سیال نیوتنی را به‌صورت تحلیلی بررسی نمودند. از فرضیات مسئله غیرقابل انحلال بودن سیالات در یکدیگر می‌باشند. نتایج این تحقیق شامل سرعت حد⁴ و نیروی پسا⁵ اعمال شونده روی سطح قطره با استفاده از معادلات استوکس⁶ است. به سبب خزشی بودن جریان، جمله لختی⁷ از معادلات اندازه حرکت حذف گردیده و تبدیل به معادلات استوکس می‌گردد. آن‌ها دریافتند که شکل قطره در حال سقوط در غیاب لختی کاملاً کروی بوده و سرعت حد با افزایش حجم قطره افزایش می‌یابد. هم‌سو با این کار تیلور و آکریووس [6] در حالتی که اعداد بی‌بعد رینولدز⁸ بسیار کم و اعداد موینگی⁹ محدود باشند، شکل قطره را دقیقاً کروی به‌دست آوردند و به‌صورت تحلیلی نشان دادند فقط در اعداد رینولدز پایین شکل قطره کروییت خود را از دست داده و شکلی پهن‌شده¹⁰ به خود می‌گیرد. همچنین آن‌ها دریافتند وقتی عدد رینولدز افزایش می‌یابد این شکل از حالت کروی به حالت پهن‌تری تبدیل می‌شود. محاسبات تحلیلی با استفاده از روش حساب اغتشاشات¹¹ انجام شد و نشان دادند که شکل قطره با توجه به خصوصیات مواد برای حالتی که قطره جیوه‌ای در آب سقوط کند، شاید حتی از حالت پهن‌شده به حالت بیضی کشیده¹² نیز بتواند تبدیل شود که بسیار نادر خواهد بود. به مرور زمان عوامل مؤثر دیگری که در شکل قطرات تاثیر گذار می‌باشند، به اثبات رسید. از مهم‌ترین آن‌ها می‌توان به خصوصیات رئولوژی سیال داخلی و خارجی، سایز قطره و شکل اولیه قبل از سقوط اشاره کرد [8,7]. امامیان و همکاران [9] سقوط یک قطره نیوتنی در اعداد رینولدز پایین را به‌صورت تحلیلی بررسی کردند و نشان دادند که با افزایش حجم قطره، حفره‌ای¹³ در انتهای قطره ایجاد خواهد شد. آن‌ها از تکنیک اغتشاشات برای حل تحلیلی مسئله و از اعداد بی‌بعد رینولدز و موینگی به‌عنوان پارامتر اغتشاشی استفاده کردند. آن‌ها نشان دادند که با افزایش اعداد بی‌بعد رینولدز و موینگی حفره ایجاد شده در انتهای قطره رشد پیدا خواهد کرد.

کیشور و همکاران [10] با استفاده از روش تفاضل محدود ضریب درگ را برای قطره‌ای در حال سقوط در اعداد رینولدز پایین که از مدل توانی¹⁴ تبعیت می‌کند، به‌دست آوردند. کوه و لیل [11] مراحل تغییر شکل قطره در حالت‌هایی که در ابتدا قطره به‌صورت غیرکروی رها شوند را در جریان‌های

خزشی بررسی کردند. آن‌ها در ابتدا یک تغییر شکل در قطره ایجاد کردند و شکل قطره را با گذشت زمان حین بالا آمدن مورد ارزیابی قرار دادند. در این مطالعه مشخص گردید، برای اعداد موینگی محدود به ازای تغییر شکل‌های کوچک، شکل قطره ضمن برخاستن کروی باقی می‌ماند. علاوه بر این، آن‌ها دریافتند که اگر تغییر شکل اولیه از حالت کروی زیاد فاصله داشته باشد شکل نهایی دیگر ثابت باقی نمی‌ماند و به‌صورت پیوسته تغییر خواهد کرد. در صورتی که شکل ابتدایی دوکی مانند باشد تغییرات به سمت یک قطره کشیده با یک دنباله در انتها پیش روی می‌کند. این در حالی است که، اگر قطره در ابتدا شکل پهن‌شده داشته باشد قطره‌ای با یک حفره در قسمت انتهایی نتیجه کار خواهد بود. همچنین در این راستا نظریه‌ای از سوی کوچیما و همکاران [12] مبنی بر اینکه شکل کروی قطره به ازای عدد موینگی بی‌نهایت ناپایدار شده و کروییت خود را از دست می‌دهد، وجود دارد. اسمولیانسکی و همکاران [13] تغییرات دینامیکی بالا آمدن حباب‌های گاز را در یک سیال ویسکوز مورد بررسی قرار دادند. در این آزمایش مقادیر مختلف کشش سطحی مورد بررسی قرار گرفت و نشان دادند که این پارامتر یک عامل تأثیرگذار در این رژیم است. آن‌ها توانستند به خوبی شکل حباب بیضی نامتقارن را به ازای اعداد رینولدز بالا با استفاده از روش عددی شبیه سازی کنند.

یکی از مسائل مهمی که در سال‌های اخیر توجه بسیاری از پژوهشگران را در زمینه قطره به خود جلب نموده سقوط یا برخاست قطره ویسکوالاستیک¹⁵ در سیال نیوتنی است. مطالعات زیادی در زمینه سقوط قطره غیرنیوتنی در فاز ویسکوز انجام گردیده است. سوستارز و بلمونته [14] سقوط قطره ویسکوالاستیک در فاز سیال نیوتنی را برای جریان خزشی به صورت آزمایشگاهی و تحلیلی بررسی کردند. در قسمت آزمایشگاهی، از محلول پلیمری زانتام¹⁶ در فاز حلال آب و گلیسرین¹⁷ استفاده شده است. آن‌ها از محلول آب و گلیسرین با درصد حجمی 80:20 و پلیمر زانتام با درصد وزنی 0.16% به عنوان فاز قطره و از روغن پلی‌دیمتیل سیلوکزان¹⁸ به عنوان فاز سیال ویسکوز در حل آزمایشگاهی بهره بردند. در قسمت دوم این تحقیق سوستارز و بلمونته از تکنیک اغتشاشات به عنوان روش حل تحلیلی برای قطره ویسکوالاستیک خزشی در حال سقوط در فاز نیوتنی بهره بردند. از مدل سیال مرتبه سه¹⁹ برای مدل‌سازی قطره ویسکوالاستیک به عنوان معادله ساختاری استفاده شده است. در این تحقیق فرض شده است که سیالات غیرقابل انحلال هستند و سرعت سقوط قطره در فاز سیال خارجی آن قدر کم باشد که آن را بتوان جریان خزشی لحاظ کرد. در این تحقیق، اعداد دورا²⁰ و موینگی به‌عنوان پارامترهای اغتشاشی مورد استفاده قرار گرفتند. بعد از بی-بعدسازی معادله سیال مرتبه سه، عدد بی‌بعد دورا در معادلات ظاهر می‌شود و به دلیل وجود عدد بی‌بعد دورا و خطی‌سازی معادلات حاکم بر مسئله، از این عدد به عنوان پارامتر اغتشاشی استفاده شده است. با توجه به فرضیات لحاظ شده، روغن سیلیکون به عنوان سیال خارجی در بخش آزمایشگاهی انتخاب شده است که در ابتدا از روغن 980 سانتی پویزی برای قطرات کوچک و سپس از روغن 490 سانتی پویزی برای محدوده قطرات بزرگتر استفاده شده است. قطرات کوچک سیالات ویسکوالاستیک به دلیل غلبه کردن نیروی کشش سطحی بر سایر نیروهای وارد بر قطره، همچنان شکل کروی خود را

¹⁵ Viscoelastic

¹⁶ Xantham

¹⁷ Glycerol

¹⁸ Polydimethylsiloxan

¹⁹ The Third Order Constitutive Equation

²⁰ Deborah

¹ Falling

² Raising

³ Creeping

⁴ Terminal velocity

⁵ Drag force

⁶ Stoke's equation

⁷ Inertia

⁸ Reynolds

⁹ Capillary

¹⁰ Oblate

¹¹ Perturbation

¹² Prolate

¹³ Dimple

¹⁴ Power-law

حفظ می‌کردند. با افزایش حجم قطره (قطر معادل قطره)، شکل قطره ناپایدار شده و کرویت خود را از دست می‌دهد و به شکل یک قطره پهن‌شده تبدیل می‌گردد. با افزایش پارامتر دورا در انتهای قطره یک فرورفتگی ایجاد می‌شود که قسمت بالایی قطره را به سمت داخل خود کشیده و یک حفره در قسمت فوقانی قطره ایجاد می‌نماید. نتایج به‌دست آمده از حل تحلیلی دارای تطابق خوبی با نتایج حاصل از مشاهدات آزمایشگاهی است. افزایش شعاع قطره یا به عبارتی افزایش پارامتر دورا باعث رشد این فرورفتگی تا حدی می‌تواند شود که قطره شکل یک دونات را به خود بگیرد و سیال خارجی از داخل سیال داخلی عبور کند. این نوع تغییر شکل برای قطرات خیلی بزرگتر رخ خواهد داد که این قطرات نسبت به قطرات کوچکتر نیاز به فاصله زیادی از ابتدای سقوط قطره دارند، تا به حالت پایدار خود برسند. یکی از تحقیقات خوب در این زمینه کار نوح و همکاران [15] است که با استفاده از شبیه‌سازی عددی به بررسی این پدیده پرداخته‌اند. به‌صورت عمومی، اثر کشش سطحی به‌عنوان عامل نگه دارنده شکل قطره به‌صورت کروی گزارش شده است. در سیالات غیرنیوتنی با افزایش خاصیت الاستیک و حجم قطره تنش‌های نرمال بر نیروی کشش سطحی غلبه کرده و شکل قطره را از حالت کروی خارج کرده و به شکل‌های دیگر تغییر می‌دهند. آگراوال و سرکار [16] تغییر شکل یک قطره ویسکوالاستیک در سیال نیوتنی برای عدد رینولدز پایین ($Re=0.1$) را به‌صورت عددی بررسی کردند. در این پژوهش از معادله ساختاری اولدریود-بی¹ برای مدل کردن قطره در حال حرکت استفاده شده است. آن‌ها همچنین نمودار تغییر شکل پایا نسبت به عدد بی‌بعد مویبگی برای مقادیر مختلف دورا نمایش دادند.

امین‌زاده و همکاران [17] حرکت قطرات نیوتنی و غیرنیوتنی را بصورت آزمایشگاهی بررسی کردند. برای ارزیابی اثر سیال بیرونی که قطره در آن حرکت می‌کند از آب و هوا به عنوان سیالات با خواص متفاوت که دارای کاربری وسیع صنعتی هستند، استفاده شده است. محدوده رژیم جریان آن‌ها $50 < Re < 500$ بوده و آنالیز تصاویر حاصل شده از دوربین سرعت بالا به عنوان روش آزمایش بکار رفته است. زارع و امرزنی [18] و همکاران سقوط خزشی یک قطره ویسکوالاستیک در میان یک فاز مایع را به صورت تحلیلی بررسی کردند و نشان دادند که با افزایش حجم قطره، حفره‌ای در انتهای قطره ایجاد خواهد شد. داودی و نوروزی [19] حرکت و تغییرشکل قطرات ویسکوالاستیک در سیال غیرنیوتنی را به صورت تحلیلی و آزمایشگاهی بررسی کرده‌اند. آن‌ها از تکنیک اغتشاشات به‌عنوان روش حل تحلیلی برای سقوط قطره ویسکوالاستیک استفاده کردند. با افزایش عدد بی‌بعد دورا یک حفره در انتهای قطره ایجاد می‌شود. وانجو و همکاران [20] مطالعه‌هایی روی حرکت قطره نیوتنی در یک سیال ساکن و بی‌نهایت غیرنیوتنی به‌صورت آزمایشگاهی انجام دادند. در ادامه این سری از بررسی‌ها آکارایا و همکاران [21,22] یک سری بررسی‌هایی روی خاصیت ویسکوزیته سیالاتی که با افزایش نرخ برش کاهش می‌یابند انجام دادند و حتی یک رابطه ریاضی برای تنش برشی حالتی که عدد رینولدز پایین است پیشنهاد کردند. در برخی از تحقیقات دیگر، اثر الاستیسیته² روی شکل قطره، برای حالتی که سیال داخلی نیوتنی و سیال بیرونی ویسکوالاستیک می‌باشد، مورد بررسی قرار گرفته است. واگنر و اسلاتری [23] با استفاده از حل تحلیلی توانستند شکل پایای قطره ویسکوالاستیک در حال سقوط در سیال ویسکوالاستیک محیط را به‌دست آورند. آن‌ها برای مدل‌سازی فاز قطره و سیال محیط از مدل سیال

2- معادلات حاکم و شرایط مرزی

به منظور ساده‌سازی معادلات حاکم، مرسوم است از حالت بی‌بعد آن‌ها استفاده شود. لازم به ذکر است که در این‌جا و تمام متن مقاله حاضر، تمامی پارامترهای ستاره‌دار حالات بعددار و پارامترهای بدون ستاره نمایانگر حالات بی‌بعد این پارامترها هستند. از آنجایی که اکثر پارامترها برای هر دو سیال داخلی و بیرونی یکی است. برای نشان دادن سیال داخلی از زیرنویس "i" و برای سیال خارجی از زیرنویس "o" استفاده شده است.

2-1- معادلات حاکم

پارامترهای بی‌بعد مورد استفاده برای جریان داخلی (قطره غیرنیوتنی در حال سقوط) و جریان خارجی (سیال نیوتنی) شامل موارد زیر می‌باشد:

$$\tau_i = \frac{\tau_i^* R}{(\eta_i)_0 U_0}, u_i = \frac{u_i^*}{U_0}, D_i = \frac{D_i^* R}{U_0}, De = \frac{\lambda U_0}{R}, P_i = \frac{P_i^* R}{(\eta_i)_0 U_0} \quad (1-الف)$$

$$\tau_o = \frac{\tau_o^* R}{\eta_o U_\infty}, u_o = \frac{u_o^*}{U_\infty}, D_o = \frac{D_o^* R}{U_\infty} \quad (1-ب)$$

در پارامترهای ذکر شده، De عدد بی‌بعد دورا، λ معرف زمان رهایی از تنش، R شعاع معادل قطره، U_0 سرعت مرجع مربوط به داخل قطره غیرنیوتنی، U_∞ سرعت حد قطره و سیال نیوتنی در مرز مشترک آن‌ها، $(\eta_i)_0$ لزجت

¹ Oldroyd-B

² Elasticity

$$Q_n(\mu) = \int_{-1}^{\mu} P_n(\mu) ds \quad (9-ب)$$

در مختصات کروی تابع جریان به صورت زیر تعریف می شود [27,26].

$$(u_i)_j(r, \theta) = \left(\frac{1}{r^2 \sin \theta} \frac{\partial(\psi_i)_j}{\partial \theta}, -\frac{1}{r \sin \theta} \frac{\partial(\psi_i)_j}{\partial r} \right) \quad (10-الف)$$

$$(u_o)_j(r, \theta) = \left(\frac{1}{r^2 \sin \theta} \frac{\partial(\psi_o)_j}{\partial \theta}, -\frac{1}{r \sin \theta} \frac{\partial(\psi_o)_j}{\partial r} \right) \quad (10-ب)$$

2-2- شرایط مرزی

شرایط مرزی در فصل مشترک قطره و محیط بیرون عبارتند از:

دو سیال غیرقابل انحلال انتخاب شده اند پس می توان گفت مؤلفه های شعاعی در روی سطح قطره صفر می باشد.

$$(u_o^*)_r = 0, (u_i^*)_r = 0 \quad (11-الف)$$

مؤلفه های عمودی سرعت در فصل مشترک دو سیال دارای رابطه ای به شکل زیر هستند.

$$(u_o^*)_{\theta} = (u_i^*)_{\theta} \quad (11-ب)$$

مؤلفه مماسی تانسور تنش قطره و سیال نیوتنی دارای رابطه ای به شکل زیر می باشند.

$$(\tau_o^*)_{r\theta} = (\tau_i^*)_{r\theta} \quad (11-ج)$$

تغییر شکل قطره در حال سقوط در سیال نیوتنی از تعادل نیروی گرانشی، کشش سطحی، فشار و تنش مماسی به دست می آید [28].

$$n \cdot (\tau_i^* - \tau_o^*) \cdot n - P_o^* + P_i^* = \Gamma \left(\frac{1}{R_1} + \frac{1}{R_2} \right) \quad (12)$$

که در آن n بردار عمود بر واحد سطح است و R_1 و R_2 شعاع انحنا اصلی هستند. ما فرض کردیم که مبدا مختصات در مرکز جرم قطره ثابت شده است. پس از بی بعدسازی، شرایط مرزی و معادله تغییر شکل به صورت زیر بی بعد می شوند:

$$(u_o)_r = 0, (u_i)_r = 0 \quad (13-الف)$$

$$(u_o)_{\theta} = \frac{1}{k+1} (u_i)_{\theta} \quad (13-ب)$$

$$(\tau_o)_{r\theta} = \frac{k}{k+1} (\tau_i)_{r\theta} \quad (13-ج)$$

$$n \cdot \left(\tau_i - \frac{k}{k+1} \tau_o \right) \cdot n - P_o + P_i = \frac{1}{Ca} \left(\frac{1}{R_1} + \frac{1}{R_2} \right) \quad (14)$$

3- روش حل

از روش حساب اغتشاشات جهت حل میدان جریان استفاده شده است. حل معادله برای هر دو جریان و به دست آوردن توابع جریان، توزیع سرعت، فشار و تانسورهای تنش در این بخش مورد بحث قرار می گیرد. لازم به ذکر است که معادلات حاکم بر مسئله سقوط قطره غیرنیوتنی در محیط نیوتنی حل می شود. به منظور خطی سازی معادلات حاکم، از پارامترهای اغتشاشی دپورا و رینولدز استفاده می کنیم. توزیع سرعت نسبت به اعداد رینولدز، دپورا و مویبگی برای جریان داخلی سیال این چنین بسط داده می شود. با بهره گیری از این روش برای جریان داخلی خواهیم داشت.

$$u_i = (u_i)_0 + \text{Re}(u_i)_1 + \text{ReCa}(u_i)^{(1)} + \text{De}(u_i)_{11} + \text{DeCa}(u_i)^{(11)} \quad (15-الف)$$

$$P_i = (P_i)_0 + \text{Re}(P_i)_1 + \text{ReCa}(P_i)^{(1)} + \text{De}(P_i)_{11} + \text{DeCa}(P_i)^{(11)} \quad (15-ب)$$

$$D_i = (D_i)_0 + \text{Re}(D_i)_1 + \text{ReCa}(D_i)^{(1)} + \text{De}(D_i)_{11} + \text{DeCa}(D_i)^{(11)} \quad (15-ج)$$

$$\psi_i = (\psi_i)_0 + \text{Re}(\psi_i)_1 + \text{ReCa}(\psi_i)^{(1)} + \text{De}(\psi_i)_{11} + \text{DeCa}(\psi_i)^{(11)} \quad (15-د)$$

با جایگذاری بسطهای اغتشاشی در معادله اندازه حرکت و جمع آوری جملات هم مرتبه، معادله مرتبط با همان مرتبه به دست می آید. پس از جمع آوری

قطره در نرخ برش صفر، η_o لزجت سیال نیوتنی، τ_o^* ، u_o^* ، P_i^* به ترتیب تانسور بعددار تنش، سرعت و فشار می باشد و D_o تانسور نرخ تغییر شکل است که به صورت زیر تعریف می شود:

$$D_o = \frac{1}{2} (\nabla u_o + \nabla u_o^T) \quad (2)$$

λ زمان رهایی از تنش است که معرف زمان به صفر رسیدن تنش در یک نمونه تحت تغییر شکل ثابت با نرخ برش صفر است. معمولاً این ضریب از تست نوسان توسط دستگاه رنومتر و تفسیر داده های آن محاسبه می شود. در تحقیق حاضر از عدد بی بعد Re برای جریان نیوتنی خارجی و از اعداد بی بعد Re ، De برای جریان داخلی که به صورت زیر تعریف می شوند، استفاده شده است:

$$\text{Re} = \frac{\rho_o U_{\infty} R}{\eta_o}, \text{Ca} = \frac{\eta_o U_{\infty}}{\Gamma}, \text{De} = \frac{\lambda U_o}{R} = \frac{\lambda U_{\infty}}{(k+1)R} \quad (3)$$

در اعداد بی بعد ذکر شده، Ca عدد بی بعد مویبگی، η_o لزجت سیال نیوتنی و Γ معرف کشش سطحی است. معادلات حاکم بر قطره غیرنیوتنی و سیال ویسکوز، معادلات پیوستگی و اندازه حرکت می باشند.

معادلات پیوستگی و اندازه حرکت برای قطره غیرنیوتنی به شرح زیر است:

$$\nabla \cdot u_i^* = 0 \quad (4-الف)$$

$$\rho_i \frac{Du_i^*}{Dt} = -\nabla P_i^* + \rho_i g + \nabla \cdot \tau_i^* \quad (4-ب)$$

معادلات پیوستگی و اندازه حرکت برای سیال ویسکوز خارجی از قرار زیر است:

$$\nabla \cdot u_o^* = 0 \quad (5-الف)$$

$$\rho_o \frac{Du_o^*}{Dt} = -\nabla P_o^* + \rho_o g + \nabla \cdot \tau_o^* \quad (5-ب)$$

سیال داخلی (قطره غیرنیوتنی) به وسیله معادله ساختاری فوق همرفتی ماکسول مدل شده است که به صورت رابطه زیر تعریف می شود:

$$\tau_i^* + \lambda \dot{d} \tau_i^* = 2(\eta_i)_0 D_i^* \quad (6)$$

با استفاده از پارامترهای بی بعدسازی معرفی شده در معادله (1-الف) شکل بی بعد مدل فوق همرفتی ماکسول به صورت رابطه زیر به دست می آید [24]:

$$\tau_i + \text{De} \dot{d} \tau_i = 2(\eta_i)_0 D_i \quad (7)$$

در رابطه بالا، $(\eta_i)_0$ ویسکوزیته قطره غیرنیوتنی در نرخ برش صفر، D_i تانسور نرخ تغییر شکل و \dot{d} اپراتور مشتق همرفتی می باشد که به صورت زیر قابل تعریف است.

$$\dot{d}_j(A) = \left(\frac{\partial}{\partial t} + (u_i)_j \cdot \nabla \right) (A) - \{ (\nabla(u_i)_j^T) (A) + (A) (\nabla(u_i)_j) \} \quad (8)$$

شکل معادله برای فاز قطره و سیال محیط در معادلات آورده شده است. با دارا بودن دو مجهول تانسور تنش و توزیع فشار حل این معادله امکان پذیر نمی باشد به همین خاطر با استفاده از روش ورتیسیته، توزیع فشار را از معادله حذف کرده و تابع جریان برای هر مرتبه و هر کدام از سیالات محاسبه می گردد. هاپل و برنر [25] در سال 1965 با استفاده از این روش معادله جریان را به شکل زیر به دست آوردند.

$$\psi(r, \theta) = \sum_{n=1}^{\infty} (A_n r^{-n} + B_n r^{2-n} + C_n r^{n+1} + D_n r^{n+3}) Q_n(\mu) \quad (9-الف)$$

در معادله (9-الف) $\mu = \cos \theta$ و $Q_n(\mu)$ چند جمله ای گینگن بایر¹ می باشد و با تابع لژاندر $P_n(\mu)$ رابطه ای به شکل زیر دارد.

¹ Gegenbauer

$$(\tau_i)_{11} = 2(D_i)_{11} - 2\dot{a}_0(D_i)_0 \quad (25)$$

باید توجه داشت که برای سیال نیوتنی همواره شرط $\tau_i = 2D_i$ برقرار می-باشد.

پس از جمع آوری ضریب جمله دبور، معادله به شکل زیر به دست می آید:

$$E^4(\psi_i)_{11} = -r \sin(\theta) [\nabla \times \nabla \cdot (\dot{a}_0(D_i)_0)] \quad (26\text{-الف})$$

$$E^4(\psi_o)_{11} = 0 \quad (26\text{-ب})$$

بعد از حل این معادله و استفاده کردن از شرایط مرزی جواب ضریب جمله دبور حساب اغتشاشات به دست می آید:

$$(\psi_i)_{11} = -\frac{1}{2}((f_i)_{11}) \sin(\theta)^2 \cos(\theta) \quad (27\text{-الف})$$

$$(f_i)_{11} = -\frac{12kr^5}{10(k+1)} + \frac{12kr^3}{10(k+1)} \quad (27\text{-ب})$$

$$(\psi_o)_{11} = -\frac{1}{2}((f_o)_{11}) \sin(\theta)^2 \cos(\theta) \quad (28\text{-الف})$$

$$(f_o)_{11} = \frac{12k}{10(k+1)^2 r^2} - \frac{12k}{10(k+1)^2} \quad (28\text{-ب})$$

بعد از محاسبه تنش های نرمال و جمله فشار، با استفاده از معادله جریان و استفاده از معادله (14) شکل جدید قطره به صورت زیر محاسبه می شود:

$$\delta p - 4\alpha_3 \text{De} P_2(\mu) = \frac{1}{\text{Ca}} \left(2 - 2\zeta - \frac{d}{d\mu} \left[(1 - \mu^2) \frac{d\zeta}{d\mu} \right] \right) \quad (29)$$

برای این که شکل قطره همچنان کروی باقی بماند باید مرکز جرم قطره در مرکز قطره باقی بماند. همچنین قانون بقای جرم نیز باید برقرار باشد. این دو شرط را می توان به صورت زیر نشان داد:

$$\int_{-1}^1 \zeta d\mu = 0, \quad \int_{-1}^1 \zeta \mu d\mu = 0 \quad (30)$$

در معادله (29) مقادیر δp و α_3 به صورت زیر تعریف شده اند:

$$\delta p = \frac{2}{\text{Ca}}, \quad \alpha_3 = \frac{1}{60} \frac{(54k^2 + 97k - 65)}{(k+1)^2} \quad (31)$$

که در نهایت تابع تغییر شکل ζ به صورت زیر به دست خواهد آمد:

$$\zeta = -\frac{\text{DeCa} (54k^2 + 97k - 65) (3 \cos(\theta)^2 - 1)}{60 (k+1)^2} \quad (32)$$

ضریب جمله دبور-مویبگی همانند ضریب جمله رینولدز-مویبگی به دست خواهد آمد. در این مرحله با شکل تخمین زده شده در مرحله قبل حل جریان تصحیح و با تابع جریان جدید شکل دقیق تری از قطره محاسبه شده است. جملات تنش قطره به صورت نیوتنی ظاهر می شوند. در مرحله قبلی تابع جریان با فرض کروی بودن قطره و با استفاده از شرایط مرزی در سطح کره به دست آمده اند. در این مرحله هدف این است که توابع جریان در شکل تخمین زده شده جدید محاسبه شود. بنابراین در این مرحله شرایط مرزی در شکل تخمین زده شده اعمال شده است. به منظور ساده سازی سوستارز و بلمونته [14] پیشنهاد کردند که شرایط مرزی همچنان روی $r = 1$ اعمال شود و در عوض خود شرایط مرزی روی شکل جدید بسط داده شود. شرایط مرزی بسط داده شده جدید به صورت زیر ارائه شده است:

$$(u_o)_r^{(11)} - \alpha_2 P_2(\cos \theta) \frac{\partial (u_o)_{0,r}}{\partial r} - 3\alpha_2 \cos \theta \sin \theta (u_o)_{0,\theta} = 0 \quad (33\text{-الف})$$

$$(u_i)_r^{(11)} - \alpha_2 P_2(\cos \theta) \frac{\partial (u_i)_{0,r}}{\partial r} - 3\alpha_2 \cos \theta \sin \theta (u_i)_{0,\theta} = 0 \quad (33\text{-ب})$$

$$(u_o)_\theta^{(11)} - \alpha_2 P_2(\cos \theta) \frac{\partial (u_o)_{0,\theta}}{\partial r} + 3\alpha_2 \cos \theta \sin \theta (u_o)_{0,r} = \frac{1}{(k+1)} ((u_i)_\theta^{(11)} - \alpha_2 P_2(\cos \theta) \frac{\partial (u_i)_{0,\theta}}{\partial r} + 3\alpha_2 \cos \theta \sin \theta (u_i)_{0,r}) \quad (33\text{-ج})$$

جملات با مرتبه صفر، معادله به دست آمده همانند معادله حاکم بر سیال نیوتنی در مختصات کروی تحت جریان خزشی می شود:

$$E^4(\psi_i)_0 = 0 \quad (16)$$

$$E^4(\psi_o)_0 = 0 \quad (17)$$

در روابط بالا اپراتور $E^4 = E^2 E^2$ می باشد و E^2 به صورت زیر تعریف می شود:

$$E^2 = \frac{\partial^2}{\partial r^2} + \frac{\sin \theta}{r^2} \frac{\partial}{\partial \theta} \left(\frac{1}{\sin \theta} \frac{\partial}{\partial \theta} \right) \quad (18)$$

بعد از حل این معادله و استفاده کردن از شرایط مرزی جواب جمله صفر حساب اغتشاشات به دست می آید که در این حالت دقیقاً برابر جملات به دست آمده توسط آقای هادامارد [4] است:

$$(\psi_i)_0 = \left(\frac{r^4}{4} - \frac{r^2}{4} \right) \sin(\theta)^2 \quad (19\text{-الف})$$

$$(\psi_o)_0 = \frac{1}{4} \left(-\frac{(3k+2)r}{k+1} + 2r^2 + \frac{k}{(k+1)r} \right) \sin(\theta)^2 \quad (19\text{-ب})$$

برای مرتبه بعدی حساب اغتشاشات همین روند تکرار می شود. پس از جمع آوری جملات ضریب جمله رینولدز، معادله به شکل زیر به دست می آید.

$$E^4(\psi_i)_1 = 0 \quad (20\text{-الف})$$

$$E^4(\psi_o)_1 = \frac{Q_2(\mu) 3k+2}{8 k+1} \left(r^2 - \frac{r 3k+2}{2 k+1} - \frac{1}{2r} \frac{k}{k+1} \right) \quad (20\text{-ب})$$

بعد از حل این معادله و استفاده کردن از شرایط مرزی جواب ضریب جمله رینولدز به دست می آید.

$$(\psi_i)_1 = -\frac{1}{2}((f_i)_1) \sin(\theta)^2 - \frac{1}{2}((f_i)_2) \sin(\theta)^2 \cos(\theta) \quad (21\text{-الف})$$

$$(f_i)_1 = -\frac{(3k+2)r^4}{16(k+1)} + \frac{(3k+2)r^2}{16(k+1)}$$

$$(f_i)_2 = -\frac{(12k^2 + 23k + 10)r^5}{160(k+1)^2} + \frac{(12k^2 + 23k + 10)r^3}{160(k+1)^2} \quad (21\text{-ب})$$

$$(\psi_o)_1 = -\frac{1}{2}((f_o)_1) \sin(\theta)^2 - \frac{1}{2}((f_o)_2) \sin(\theta)^2 \cos(\theta) \quad (22\text{-الف})$$

$$(f_o)_1 = \frac{(3k+2)^2 r}{16(k+1)} - \frac{3k+2}{8(k+1)} r^2 + \frac{k(3k+2)}{16(k+1)^2 r}$$

$$(f_o)_2 = \frac{3k+2}{8(k+1)} r^2 - \frac{(3k+2)^2 r}{16(k+1)^2} - \frac{k(3k+2)}{16(k+1)^2 r} + \frac{k(15k^2 + 22k + 8)}{80(k+1)^3} + \frac{k(15k^2 + 22k + 8)}{80(k+1)^3 r^2} \quad (22\text{-ب})$$

همچنین در ادامه ضریب جمله رینولدز-مویبگی به صورت زیر به دست خواهد آمد.

$$(\psi_i)^{(1)} = -\frac{1}{2}((f_i)^{(1)}) \sin(\theta)^2 - \frac{1}{8}((f_i)^{(2)}) \sin(\theta)^2 (5 \cos(\theta)^2 - 1) \quad (23\text{-الف})$$

$$(f_i)^{(1)} = \frac{\alpha_2(4-2k)r^4}{5(k+1)} + \frac{(3k-3)r^2}{5(k+1)} \quad (23\text{-ب})$$

$$(f_i)^{(2)} = \frac{6\alpha_2(5)r^6}{35} + \frac{6\alpha_2(-12)r^4}{35}$$

$$(\psi_o)^{(1)} = -\frac{1}{2}(f^{(r1)}) \sin(\theta)^2 - \frac{1}{8}(f^{(r2)}) \sin(\theta)^2 (5 \cos(\theta)^2 - 1) \quad (24\text{-الف})$$

$$f^{(r2)} = \frac{\alpha_2}{35(k+1)} \left[\frac{21k+18}{r} - \frac{21k+4}{r^3} \right] \quad (24\text{-ب})$$

پس از جایگذاری در معادله متشکله و سازی های لازم ضریب جمله دبور برحسب پارامترهای جریان به شکل ساده و خطی سازی شده زیر به دست خواهد آمد:

در رابطه بالا $\psi_\infty = (r^2 \sin^2 \theta)/2$ و به آن خط جریان آزاد می‌گویند. تا به این‌جا تمامی جملات حساب اغتشاشات برای به‌دست آوردن توابع جریان، برای سیال قطره و محیط نیوتنی محاسبه شده است. برای محاسبه سرعت نهایی قطره در حال سقوط، تابع جریان سیال نیوتنی محیط را بصورت $(\psi_o) = (\psi_o)_0 + \text{Re}(\psi_o)_1 + \text{ReCa}(\psi_o)^{(1)} + \text{De}(\psi_o)_{11} + \text{DeCa}(\psi_o)^{(11)}$ در معادله (43) قرار می‌دهیم. نیروی کلی پسا وارده بر سطح قطره به‌صورت زیر محاسبه می‌شود.

$$F_D = 2\pi \frac{3k+2}{k+1} + \text{Re} \frac{\pi}{4} \left(\frac{3k+2}{k+1} \right)^2 + \frac{2\pi\alpha_2 \text{ReCa}}{5(k+1)^2} (3k^2 + 11k - 4) + \frac{2\pi\alpha_3 \text{DeCa}}{5(k+1)^2} (3k^2 + 11k - 4) \quad (44)$$

سرعت نهایی قطره در حال سقوط با استفاده از تعادل نیروی حجمی وارده بر قطره و نیروی پسا کلی وارد شده بر سطح آن به‌صورت زیر محاسبه شده است:

$$U_\infty = \frac{4\pi}{3} (\rho_o g R^2 (\gamma - 1)) / \left[\eta \left(2\pi \frac{3k+2}{k+1} + \text{Re} \frac{\pi}{4} \left(\frac{3k+2}{k+1} \right)^2 + \frac{2\pi\alpha_2 \text{ReCa}}{5(k+1)^2} (3k^2 + 11k - 4) + \frac{2\pi\alpha_3 \text{DeCa}}{5(k+1)^2} (3k^2 + 11k - 4) \right) \right] \quad (45)$$

4- نتایج و بحث

4-1- مقایسه نتایج تحلیلی

در ابتدای امر با در نظر گرفتن $\text{De} = 0$ می‌توان حل حاضر را با حل امامیان و همکاران [9] از لحاظ کمی بررسی و صحت تحقیق حاضر را مورد بررسی قرار داد. در "شکل 1" نتایج به‌دست آمده برای تخمین سرعت حد در حل تحلیلی امامیان و همکاران [9] را با حل تحلیلی حاضر مقایسه کرده‌ایم. همان‌طور که دیده می‌شود با افزایش حجم قطره سرعت سقوط افزایش می‌یابد.

همچنین می‌توان تحقیق حاضر را با حل تیلور و آکریپوس [6] از لحاظ کیفی بررسی و صحت تحقیق حاضر را مورد بررسی قرار داد. همان‌طور که در "شکل 2" مشاهده می‌شود نتایج حاصل از تحقیق حاضر با حل تیلور و

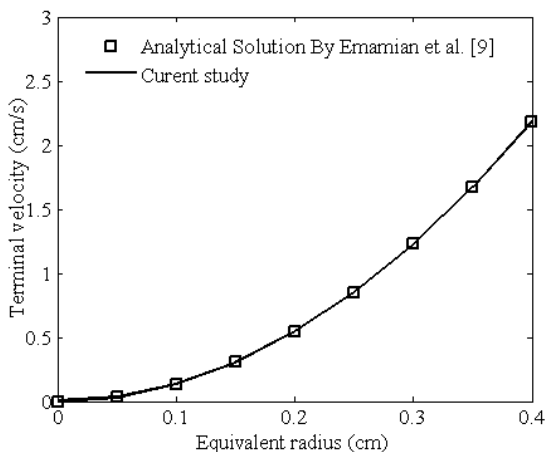


Fig. 1 Variation of terminal velocity with equivalent radius

شکل 1 تغییرات سرعت حد برحسب شعاع

$$\begin{aligned} & (\tau_o)_{r\theta}^{(11)} - \alpha_2 P_2(\cos \theta) \frac{\partial (\tau_o)_{0,r\theta}}{\partial r} + 3\alpha_2 \cos \theta \sin \theta ((\tau_o)_{0,rr} - (\tau_o)_{0,\theta\theta}) \\ & = \frac{k}{(k+1)} \\ & ((\tau_i)_{r\theta}^{(11)} - \alpha_2 P_2(\cos \theta) \frac{\partial (\tau_i)_{0,r\theta}}{\partial r} + 3\alpha_2 \cos \theta \sin \theta ((\tau_i)_{0,rr} - (\tau_i)_{0,\theta\theta})) \end{aligned} \quad (33)$$

با استفاده از شرایط مرزی جدید تابع جریان ضریب جمله دبور-مویبگی مطابق زیر محاسبه شده است:

$$(\psi_i)^{(11)} = -\frac{1}{2} ((f_i)^{(11)}) \sin^2(\theta) - \frac{1}{8} ((f_i)^{(22)}) \sin^2(\theta) (5 \cos^2(\theta) - 1) \quad (34)$$

$$(f_i)^{(11)} = \frac{\alpha_2(4-2k)r^4}{5(k+1)} + \frac{(3k-3)r^2}{5(k+1)} \quad (34)$$

$$(f_i)^{(22)} = \frac{6\alpha_2(5)r^6}{35} + \frac{6\alpha_2(-12)r^4}{35}$$

$$(\psi_o)^{(11)} = -\frac{1}{2} ((f_o)^{(11)}) \sin^2(\theta) - \frac{1}{8} ((f_o)^{(22)}) \sin^2(\theta) (5 \cos^2(\theta) - 1) \quad (35)$$

$$(f_o)^{(11)} = \frac{\alpha_2}{10(k+1)^2} \left[(3k^2 - k + 8)r + \frac{3k^2 - 3k + 6}{r} \right]$$

$$(f_o)^{(22)} = \frac{\alpha_2}{35(k+1)} \left[\frac{21k + 18}{r} - \frac{21k + 4}{r^3} \right] \quad (35)$$

حال برای به‌دست آوردن تغییر شکل ناشی از این جمله ابتدا باید $(\tau_i)^{(11)}$ و $\tau^{(11)}$ را به‌دست آورده و در معادله (36) قرار دهیم:

$$\begin{aligned} & n \cdot ((\tau_o)^{(11)} - (\tau_i)^{(11)}) \cdot n \\ & = (\tau_o)_{rr}^{(11)} - \alpha_2 P_2(\cos \theta) \frac{\partial (\tau_o)_{0,rr}}{\partial r} \\ & \quad - 6\alpha_2 \cos \theta \sin \theta (\tau_o)_{0,r\theta} \\ & \quad - k((\tau_i)_{rr}^{(11)} - \alpha_2 P_2(\cos \theta) \frac{\partial (\tau_i)_{0,rr}}{\partial r} \\ & \quad - 6\alpha_2 \cos \theta \sin \theta (\tau_i)_{0,r\theta}) \end{aligned} \quad (36)$$

با قرار دادن معادله (36) در معادله تنش نرمال (14) داریم:

$$-10\beta_2 \text{DeCa} P_3(\mu) = \frac{1}{\text{Ca}} \left(2 - 2\xi - \frac{d}{d\mu} \left[(1 - \mu^2) \frac{d\xi}{d\mu} \right] \right) \quad (37)$$

که در آن

$$\beta_2 = \frac{3\alpha_2(173k + 142)}{700(k+1)} \quad (38)$$

با استفاده از شرایط مرزی معادله (30) و حل معادله (37) داریم:

$$\zeta = -\frac{3\alpha_2 \text{DeCa}^2 (173k + 142)}{700(k+1)} P_3(\mu) \quad (39)$$

با استفاده از شرط مرزی تنش‌های نرمال تغییر شکل اصلاح شده برابر با رابطه زیر به دست آمده است:

$$r(\theta) = 1 - \alpha_2 \text{ReCa} P_2(\mu) - \beta_2 \text{ReCa}^2 P_3(\mu) - \alpha_3 \text{DeCa} P_2(\mu) - \beta_2 \text{DeCa}^2 P_3(\mu) \quad (40)$$

برای به‌دست آوردن سرعت نهایی باید از برآیند نیروهای پسا و حجمی استفاده شود. برآیند نیروهای وارده بر قطره به‌صورت زیر می‌باشد.

$$F = F_D + F_B \quad (41)$$

در معادله بالا نیروی حجمی وارده بر قطره به‌صورت زیر قابل محاسبه می‌باشد:

$$F_B = \frac{4\pi\rho_o g R^2 (1 - \gamma)}{3\eta U_\infty} \quad (42)$$

برای محاسبه نیروی پسا وارده بر سطح قطره از تئوری پلین و پیل [29] استفاده می‌شود که به‌صورت زیر بیان شده است.

$$F_D = 8\pi \lim_{r \rightarrow \infty} \frac{\psi_\infty - (\psi_o)(r, \theta)}{r \sin^2 \theta} \quad (43)$$

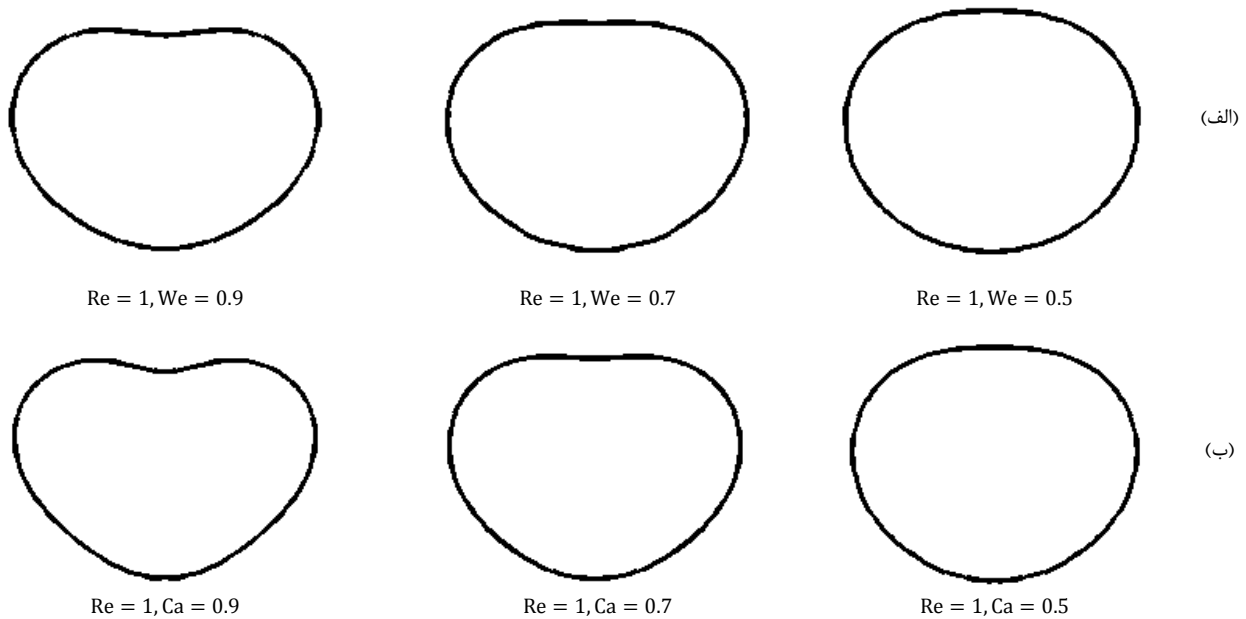


Fig. 2 A comparison between the steady shape of (a) the analytical solution of Taylor and Acrivos [6] (b) the current study solution.

شکل 2 مقایسه بین تغییر شکل به دست آمده از (الف) حل تحلیلی تیلور آکریوس [6] (ب) حل تحلیلی حاضر

مقابل عدد رینولدز به ازای اعداد موینگی مختلف نشان می‌دهد. در این شکل می‌توان اثر نیروی لختی قطره را روی نیروی درگ مشاهده نمود. با توجه به این شکل، افزایش نیروی لختی در فاز قطره افزایش نیروی درگ وارده را در پی دارد. افزایش عدد موینگی سبب افزایش نیروی درگ در قطرات غیرنیوتنی می‌شود. افزایش نیروی لختی قطره، افزایش تغییر شکل قطره را در پی دارد و ادامه روند افزایش آن سبب توسعه این تغییر شکل می‌شود. بنابراین، از "شکل 4" نتیجه می‌شود که رشد تغییر شکل پایای قطره غیرنیوتنی به واسطه افزایش نیروی لختی یا موینگی، نیروی درگ وارده بر سطح آن را افزایش می‌دهد.

آکریوس [6] تطابق خوبی دارد. با افزایش سایز قطره و به تبع آن افزایش اعداد رینولدز و موینگی شکل قطره از حالت کروی به یک حالت پهن شده تبدیل می‌شود. با ادامه این روند افزایشی یک فرورفتگی در انتهای قطره به وجود می‌آید.

در "شکل 3" تأثیر جملات مختلف محاسبه شده را بر روی شکل پایای قطره مشاهده می‌کنیم. فرورفتگی ایجاد شده در انتهای قطره سبب افزایش نیروی درگ و به تبع آن کاهش سرعت حد قطره می‌شود.

2-4- تأثیر متغیرها بر روی نیروی درگ

"شکل 4" تغییرات نیروی درگ وارده بر سطح قطره در حال سقوط را در

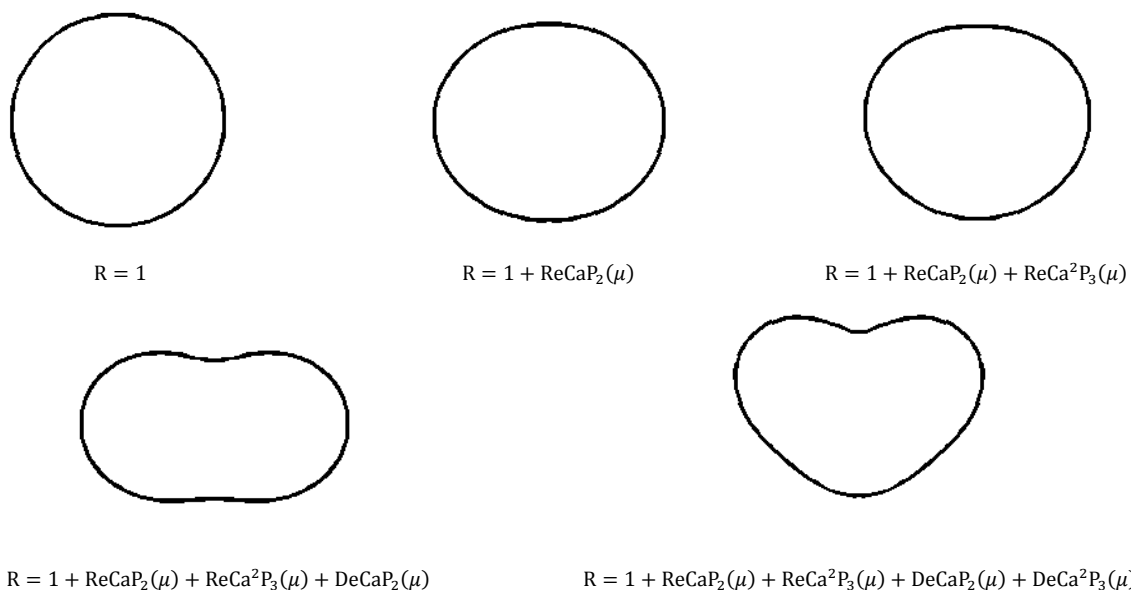


Fig. 3 Effects of different perturbation solution order on drop shape

$$R = 1 + \text{ReCa}P_2(\mu) + \text{ReCa}^2P_3(\mu) + \text{DeCa}P_2(\mu) + \text{DeCa}^2P_3(\mu)$$

شکل 3 تأثیر جملات با درجه‌های مختلف روی شکل قطره

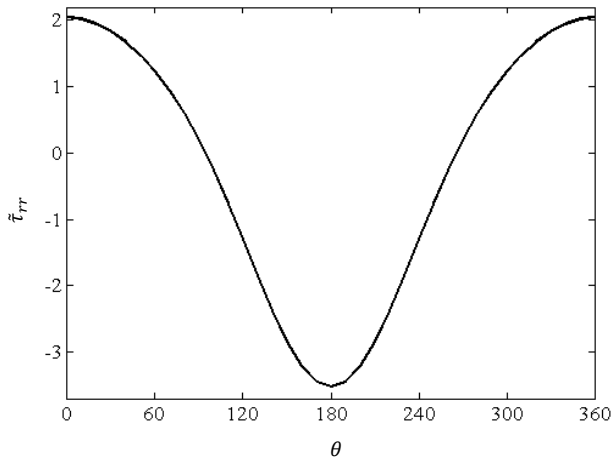


Fig. 6 Normal component of stress $\bar{\tau}_{rr}$ at free surface for $Re = 0.9, Ca = 0.5, De = 0.7, k = 10$

شکل 6 تغییرات تنش $\bar{\tau}_{rr}$ سطح قطره برای $Re = 0.9, Ca = 0.5, De = 0.7, k = 10$

با افزایش عدد دبور، خاصیت الاستیک قطره غیرنیوتنی افزایش می‌یابد. همان‌طور که قبلاً اشاره کردیم، با افزایش عدد دبور به ازای حجم مشخص، میزان فرورفتگی انتهای قطره افزایش یافته و قطره بیشتر از حالت کروی فاصله می‌گیرد. با افزایش حجم قطره تنش شعاعی افزایش می‌یابد و به عنوان نیروی غالب باعث کاهش سرعت حد قطره می‌گردد. در "شکل 7" می‌توان اثر تغییرات عدد بی بعد دبور بر $\bar{\tau}_{rr}$ را مشاهده نمود.

4-4- تأثیر متغیرها بر سرعت حد قطره

یکی از پارامترهای مهم و تاثیرگذار بر روی حرکت قطره، سرعت حد قطره می‌باشد. در "شکل 8" سرعت حد قطره غیرنیوتنی در حال سقوط به ازای اعداد دبور مختلف را نمایش داده شده است. مشاهده می‌شود، افزایش عدد دبور (خاصیت الاستیک) سیال قطره در حال سقوط، سرعت حد قطره را کاهش می‌دهد. با افزایش عدد دبور فرورفتگی انتهای قطره افزایش پیدا کرده و در نتیجه نیروی درگ آن افزایش و به تبع آن سرعت حد قطره کاهش پیدا می‌کند.

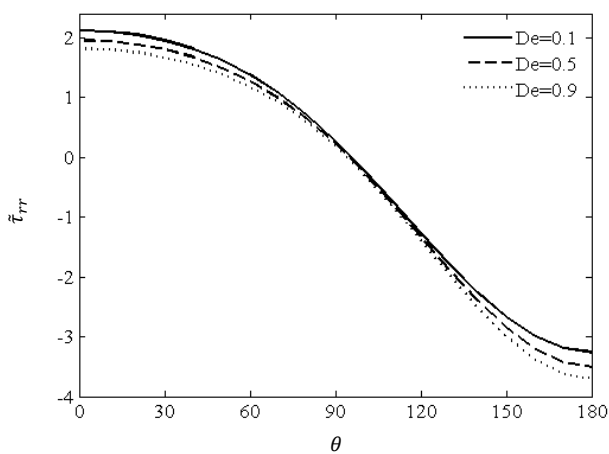


Fig. 7 Normal component of stress $\bar{\tau}_{rr}$ at free surface against the Deborah number for $Re = 0.9, Ca = 0.5, k = 20$

شکل 7 تغییرات $\bar{\tau}_{rr}$ سطح قطره با تغییر دبور برای $Re = 0.7, Ca = 0.5, k = 20$

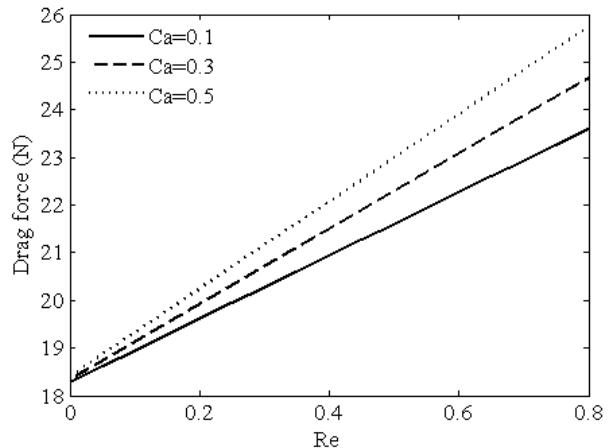


Fig. 4 Drag force at free surface against the capillary number

شکل 4 تغییرات نیروی درگ سطح قطره با تغییر عدد بی بعد موینگی

"شکل 5" تغییرات نیروی درگ وارده بر سطح قطره در حال سقوط را در مقابل عدد دبور به ازای اعداد موینگی مختلف نشان می‌دهد. عدد دبور نشان دهنده خاصیت الاستیک فاز قطره می‌باشد. با افزایش خاصیت الاستیک، نیروی درگ وارد بر قطره افزایش پیدا می‌کند. همچنین افزایش عدد بی بعد موینگی نیز سبب روند افزایشی نیروی درگ می‌شود.

3-4- تأثیر متغیرها در تنش شعاعی قطره

عامل اصلی تاثیرگذار بر روی حرکت قطره غیرنیوتنی در حال سقوط در فاز نیوتنی علاوه بر لختی جریان، غلبه نیروی حاصل از مؤلفه نرمال شعاعی تنش $\bar{\tau}_{rr}$ بر نیروی کشش سطحی می‌باشد. "شکل 6" نشان دهنده توزیع تنش روی سطح قطره غیرنیوتنی می‌باشد. همان‌طور که قبلاً اشاره شد، تغییر شکل قطره و ایجاد حفره در قسمت انتهایی آن از همین مولفه تانسور تنش قطره ناشی می‌شود. حفره ایجاد شده در انتهای قطره سبب افزایش نیروی درگ و در نتیجه باعث کاهش سرعت حد قطره می‌شود. مشاهده می‌گردد، مقدار بیشینه این مولفه در $\theta = 0$ یعنی در قسمت انتهایی قطره رخ می‌دهد. در $\theta = 180$ نمودار توزیع تنش روی سطح قطره غیرنیوتنی متقارن می‌باشد. به همین خاطر مقادیر نرمال شعاعی تنش $\bar{\tau}_{rr}$ را به ازای پارامترهای مختلف تاثیر گذار بر روی مولفه شعاعی تنش، در محدوده $0 < \theta < 180$ رسم خواهیم کرد.

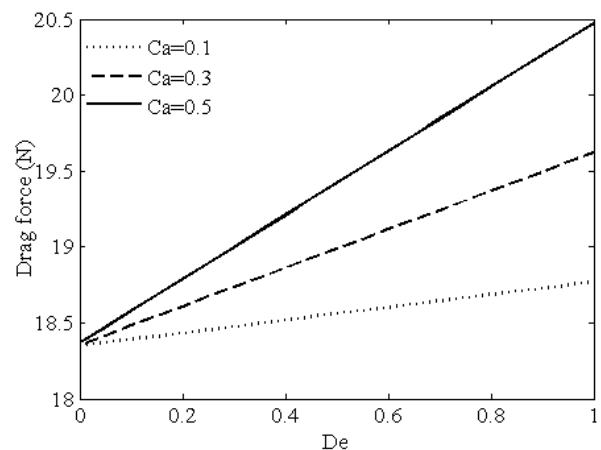


Fig. 5 Drag force at free surface against the capillary number

شکل 5 تغییرات نیروی درگ سطح قطره با تغییر عدد بی بعد موینگی

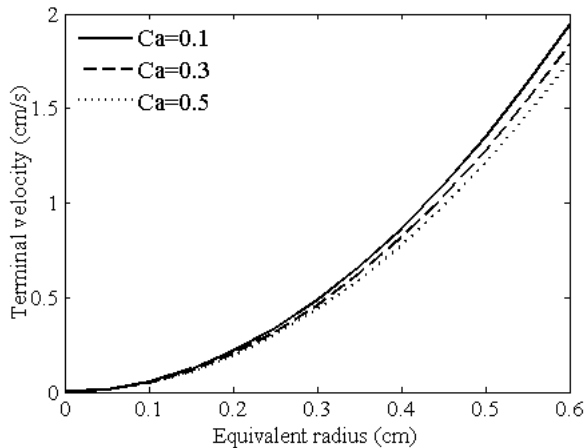


Fig. 10 Terminal velocity against the capillary number for $Re = 0.9, Ca = 0.5, k = 20$

شکل 10 تغییرات سرعت حد قطره با تغییر عدد موینگی برای $Re = 0.7, Ca = 0.5, k = 20$

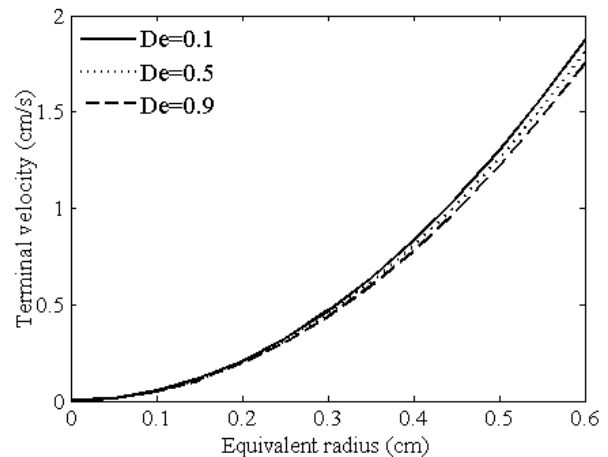


Fig. 8 Terminal velocity against the Deborah number for $Re = 0.9, Ca = 0.5, k = 20$

شکل 8 تغییرات سرعت حد قطره با تغییر عدد دورا برای $Re = 0.7, Ca = 0.5, k = 20$

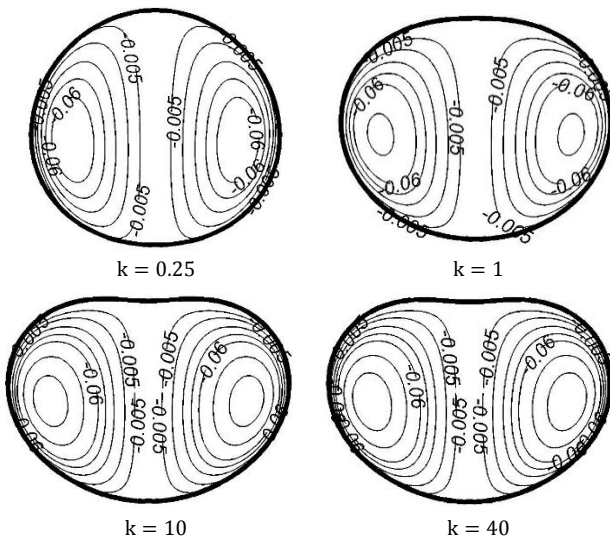


Fig. 11 Streamlines of interior flow in different k variation at $Re = 0.9, De = 0.7, Ca = 0.5$

شکل 11 میدان سرعت داخل قطره با تغییر عدد k برای $Re = 0.9, De = 0.7, Ca = 0.5$

رینولدز، دورا و موینگی به عنوان پارامتر اغتشاشی استفاده شده است. از مدل فوق همرفتی ماکسول برای شبیه سازی فاز قطره و از مدل نیوتنی برای فاز محیط پیرامون آن استفاده شده است. در مطالعه حاضر حرکت و شکل پایای قطره در حال سقوط نسبت به پارامترهای تأثیرگذار بررسی و مورد بحث قرار گرفته است.

با بررسی پارامترهای تأثیرگذار روی حرکت و شکل قطرات مشخص گردید که:

- با افزایش عدد دورا (خاصیت الاستیک قطره) حفره ایجاد شده در قسمت انتهایی قطره رشد و توسعه می یابد و سرعت حد قطره کاهش پیدا می کند.
- با افزایش خاصیت الاستیک (عدد بی بعد دورا) قطره غیرنیوتنی، نیروی درگ قطره افزایش پیدا می کند.
- تغییرات نسبت ویسکوزیته k ، به ازای $k < 10$ روی شکل پایای و میدان سرعت داخل قطرات مشهود می باشد و به ازای $k > 10$ تغییر چندانی روی شکل قطره نخواهد داشت.

در "شکل 9" و "شکل 10" به ترتیب تأثیر تغییرات اعداد بی بعد رینولدز و موینگی را بر روی سرعت حد قطره غیرنیوتنی مشاهده می کنیم. همان طور که مشاهده می شود، تأثیر تغییرات عدد بی بعد رینولدز بر روی سرعت حد قطره بیشتر می باشد به عبارتی دیگر با افزایش عدد بی بعد رینولدز سرعت حد قطره بیشتر، کاهش پیدا می کند و تأثیر عدد بی بعد موینگی بر روی سرعت حد قطره ناچیز می باشد.

در "شکل 11" تأثیر پارامتر بی بعد نسبت ویسکوزیته k بر روی بردارهای سرعت داخل قطره مشاهده می شود. همان طور که قبلاً نیز گفته شد به ازای $k > 10$ ، افزایش مقدار متغیر k تأثیری بر روی شکل قطره و تنش شعاعی قطره ندارد. در "شکل 11" نیز مشاهده می شود که به ازای $k > 10$ ، تغییر متغیر k تأثیری بر روی میدان سرعت داخل قطره ندارد.

5- نتیجه گیری

در مقاله حاضر، حرکت و شکل پایای سقوط قطره غیرنیوتنی در سیال نیوتنی در اعداد رینولدز پایین به صورت تحلیلی مورد بررسی قرار گرفته است. از حساب اغتشاشات به عنوان روش حل تحلیلی استفاده شده است. اعداد بی بعد

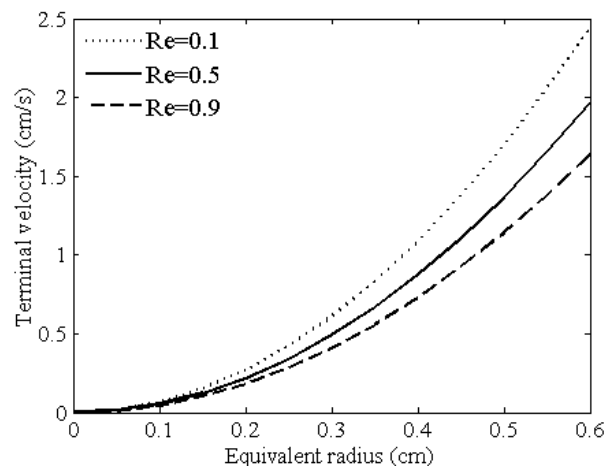


Fig. 9 Terminal velocity against the Reynolds number for $Re = 0.9, Ca = 0.5, k = 20, \eta = 0.35 \text{ kgm}^{-1}\text{s}^{-1}$

شکل 9 تغییرات سرعت حد قطره با تغییر عدد رینولدز برای $Re = 0.7, Ca = 0.5, k = 20, \eta = 0.35 \text{ kgm}^{-1}\text{s}^{-1}$

- [7] G. Taylor, The formation of emulsions in definable fields of flow, *Proceedings of the Royal Society of London, Series A*, Vol. 146, No. 858, pp. 501-523, 1934.
- [8] H. A. Stone, Dynamics of drop deformation and breakup in viscous fluids, *Annual Review of Fluid Mechanics*, Vol. 26, No. 1, pp. 65-102, 1994.
- [9] A. Emamian, M. Norouzi, M. Davoodi, An analytical investigation on shape of a falling viscose drop at low Reynolds number, *Modares Mechanical Engineering*, Vol. 17, No. 2, pp. 251-262, 2017. (in Persian فارسی)
- [10] N. Kishore, R. Chhabra, V. Eswaran, Effect of dispersed phase rheology on the drag of single and of ensembles of fluid spheres at moderate Reynolds numbers, *Chemical Engineering Journal*, Vol. 141, No. 1, pp. 387-392, 2008.
- [11] C. Koh, L. Leal, The stability of drop shapes for translation at zero Reynolds number through a quiescent fluid, *Physics of Fluids A*, Vol. 1, No. 8, pp. 1309-1313, 1989.
- [12] R. Clift, J. R. Grace, M. E. Weber, *Bubbles, Drops, and Particles*, Vol. 1, No.1, pp. 83-246, New York: Courier Corporation, 2005.
- [13] A. Smolianski, H. Haario, P. Luukka, Numerical bubble dynamics, *Computer Aided Chemical Engineering*, Vol. 14, No. 1, pp. 941-946, 2003.
- [14] M. C. Sostarecz, A. Belmonte, Motion and shape of a viscoelastic drop falling through a viscous fluid, *Journal of Fluid Mechanics*, Vol. 497, No. 3, pp. 235-252, 2003.
- [15] D. Noh, I. Kang, L. G. Leal, Numerical solutions for the deformation of a bubble rising in dilute polymeric fluids, *Physics of Fluids A*, Vol. 5, No. 6, pp. 1315-1332, 1993.
- [16] N. Aggarwal, K. Sarkar, Deformation and breakup of a viscoelastic drop in a Newtonian matrix under steady shear, *Journal of Fluid Mechanics*, Vol. 584, No. 5, pp. 1-21, 2007.
- [17] M. Aminzadeh, A. Maleki, B. Firoozabadi, H. Afshin, On the motion of Newtonian and non-Newtonian liquid drops, *Scientia Iranica*, Vol. 19, No. 5, pp. 1265-1278, 2012.
- [18] B. Vamerzani, M. Norouzi, B. Firoozabadi, Analytical solution for creeping motion of a viscoelastic drop falling through a Newtonian fluid, *Korea-Australia Rheology Journal*, Vol. 26, No. 1, pp. 91-104, 2014.
- [19] M. Davoodi, M. Norouzi, An investigation on the motion and deformation of viscoelastic drops descending in another viscoelastic media, *Physics of Fluids*, Vol. 28, No. 10, pp. 103103, 2016.
- [20] R. Wanchoo, S. K. Sharma, R. Gupta, Shape of a Newtonian liquid drop moving through an immiscible quiescent non-Newtonian liquid, *Chemical Engineering and Processing*, Vol. 42, No. 42, pp. 387-393, 2003.
- [21] A. Acharya, R. Mashelkar, J. Ulbrecht, Mechanics of bubble motion and deformation in non-Newtonian media, *Chemical Engineering Science*, Vol. 32, No. 8, pp. 863-872, 1977.
- [22] A. Acharya, R. Mashelkar, J. Ulbrecht, Motion of liquid drops in rheologically complex fluids, *The Canadian Journal of Chemical Engineering*, Vol. 56, No. 1, pp. 19-25, 1978.
- [23] M. G. Wagner, J. C. Slattery, Slow flow of a non-newtonian fluid past a droplet, *AIChE Journal*, Vol. 17, No. 5, pp. 1198-1207, 1971.
- [24] R. Bird, R. Armstrong, O. Hassager, *Fluid Mechanics, Dynamics of Polymeric Liquids*, Vol. 1, pp. 258-325, New York: Wiley, 1987.
- [25] J. Happel, H. Brenner, *Low Reynolds Number Hydrodynamics with Special Application to Particulate Media*, pp. 243-315, New Jersey: Prentice-Hall, 1965.
- [26] F. M. White, I. Corfield, *Viscous Fluid Flow*, Vol. 3, No.1, pp. 173-180, New York: McGraw-Hill, 2006.
- [27] E. Lifshitz, L. Landau, *Course of Theoretical Physics*, Vol. 6, No.1, pp. 243-351, Oxford UK: Pergamon Press, 1959.
- [28] G. K. Batchelor, *An Introduction to fluid Dynamics*, pp. 320-410, Cambridge University: Cambridge University Press, 1967.
- [29] L. E. Payne, W. Pell, The Stokes flow problem for a class of axially symmetric bodies, *Journal of Fluid Mechanics*, Vol. 7, No. 4, pp. 529-342, 1960, 1959.

- افزایش عدد مویینگی Ca ، به دلیل کاهش نیروی کشش سطحی، باعث افزایش نیروی درگ، کاهش سرعت حد و در نتیجه رشد حفره ایجاد شده در قسمت انتهایی قطره می‌گردد.

6- فهرست علائم

| | |
|---|---------------------------------------|
| عدد مویینگی | $Ca = \frac{\eta U_{\infty}}{\Gamma}$ |
| تانسور تغییر شکل (s^{-1}) | D |
| عدد دیورا | $De = \frac{\lambda U_0}{R}$ |
| برآیند نیروها $(kgms^{-2})$ | F |
| نیروی پسا $(kgms^{-2})$ | F_D |
| نیروی حجمی $(kgms^{-2})$ | F_B |
| نسبت لزجت | $k = \frac{(\eta_i)_0}{\eta_0}$ |
| بردار عمود بر سطح | n |
| فشار استاتیکی بی‌بعد | $P = \frac{P^* R}{\eta U_{\infty}}$ |
| عدد رینولدز | $Re = \frac{\rho U_{\infty} R}{\eta}$ |
| جهت شعاعی دستگاه مختصات کروی | r |
| سرعت مرجع سیال نیوتنی (ms^{-1}) | U_{∞} |
| سرعت مرجع قطره (ms^{-1}) | U_0 |
| علائم یونانی | |
| تابع تغییر شکل | ζ |
| تابع جریان سیال نیوتنی (s^{-1}) | ψ_0 |
| تابع جریان قطره (s^{-1}) | ψ_i |
| تانسور تنش سیال نیوتنی $(kgm^{-1}s^{-2})$ | τ_0 |
| تانسور تنش قطره $(kgm^{-1}s^{-2})$ | τ_i |
| جهت زاویه‌ای دستگاه مختصات کروی | θ |
| چگالی (kgm^{-3}) | ρ |
| کشش سطحی (kgs^{-2}) | Γ |
| لزجت سیال نیوتنی $(kgm^{-1}s^{-1})$ | η_0 |
| لزجت قطره در نرخ برش صفر $(kgm^{-1}s^{-1})$ | $(\eta_i)_0$ |

7- مراجع

- [1] A. S. Campbell, J. M. Eldridge, F. C. Lee, G. Olive, *Thermal Drop-On-Demand Ink Jet Print Head*, US Patents No. 4870433, 1989.
- [2] C. Hanson, *Recent Advances in Liquid-Liquid Extraction*, Vol. 1, pp. 241-326, New York: Elsevier, 2013.
- [3] J. Roy, J. S. Moore, *Drop-On-Demand Ink Jet Print Head*, US Patent No.5087930, 1992.
- [4] J. Hadamard, Mouvement permanent lent d'une sphere liquide et visqueuse dans un liquide visqueux, *Comptes Rendus de l'Académie des Sciences Paris*, Vol. 152, No. 25, pp. 1735-1738, 1911. (In French)
- [5] W. Rybczyński, Über die fortschreitende Bewegung einer flüssigen Kugel in einem zähen Medium, *Bulletin international de l'Académie des sciences de Cracovie*, Vol. 1, No. 13, pp. 40-46, 1911. (In German)
- [6] T. Taylor, A. Acrivos, On the deformation and drag of a falling viscous drop at low Reynolds number, *Journal of Fluid Mechanics*, Vol. 18, No. 3, pp. 466-476, 1964.